

Experiência 4

Controle PID

22 de setembro de 2024

Conteúdo

| | | |
|----------|--|-----------|
| 1 | Controladores PI | 2 |
| 2 | Emulador Industrial | 4 |
| 2.1 | Controle PI&D do emulador industrial | 5 |
| 2.1.1 | Procedimento experimental - parte 1 | 6 |
| 2.1.2 | Procedimento experimental - parte 2 | 7 |
| 2.1.3 | Procedimento experimental - parte 3 | 7 |
| 2.2 | Pré-relatório da experiência 5 | 8 |
| 3 | Sistema Retilíneo | 9 |
| 3.1 | Controle PI&D do sistema retilíneo | 9 |
| 3.1.1 | Procedimento experimental - parte 1 | 11 |
| 3.1.2 | Procedimento experimental - parte 2 | 12 |
| 3.1.3 | Procedimento experimental - parte 3 | 12 |
| 3.2 | Pré-relatório da experiência 5 | 13 |
| 4 | Sistema Torcional | 14 |
| 4.1 | Controle PI&D do sistema torcional | 14 |
| 4.1.1 | Procedimento experimental - parte 1 | 16 |
| 4.1.2 | Procedimento experimental - parte 2 | 17 |
| 4.1.3 | Procedimento experimental - parte 3 | 17 |
| 4.2 | Pré-relatório da experiência 5 | 18 |
| 5 | Pêndulo Invertido | 19 |
| 5.1 | Controle PI&D do pêndulo invertido | 20 |
| 5.1.1 | Procedimento experimental - parte 1 | 21 |
| 5.1.2 | Procedimento experimental - parte 2 | 22 |
| 5.1.3 | Procedimento experimental - parte 3 | 22 |
| 5.2 | Pré-relatório da experiência 5 | 23 |

| | |
|---|-----------|
| 6 Levitador Magnético | 25 |
| 6.1 Controle PI&D do levitador magnético | 25 |
| 6.2 Procedimento experimental | 27 |
| 6.2.1 Procedimento experimental - parte 1 | 27 |
| 6.2.2 Procedimento experimental - parte 2 | 28 |
| 6.3 Pré-relatório da experiência 5 | 29 |
| Referências | 30 |

1 Controladores PI

A Experiência 3 demonstrou algumas vantagens do controlador PD, como o controle do amortecimento do sistema. Entretanto, controladores PD não têm efeito sobre o erro de estado estacionário do sistema a menos que o erro seja variante no tempo. Em aplicações onde se deseja anular erros de regime, o emprego de controladores PD pode não ser suficiente e alguma *ação integral* deve ser incorporada ao controlador. O objetivo desta experiência é demonstrar os efeitos da ação integral em termos de resposta transitória (máximo *overshoot*), de regime (erro de estado estacionário) e de resposta em frequência do sistema em malha fechada. Por conveniência, as duas implementações de controladores **PID** investigadas serão referenciadas como **PID**, se todos os termos do controlador aparecerem no caminho direto do sistema, ou **PI&D**, se o termo derivativo aparecer na realimentação. Convenção semelhante é usada para designar controladores PD e P&D.

Uma estrutura clássica para o controle em malha fechada de uma planta hipotética $G_p(s)$ através de um controlador **PI**

$$G_c(s) = K_p + \frac{K_i}{s},$$

onde K_p , K_i são os ganhos proporcional e integral, é apresentada na Fig.1.

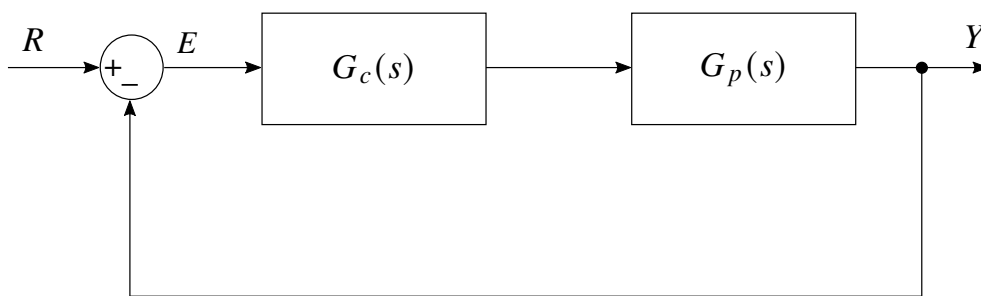


Figura 1: Sistema de controle em malha fechada.

A parte integral do controlador produz um sinal que é proporcional à integral do erro. A função de transferência do caminho direto do sistema de controle é

$$G_c(s) G_p(s) = \frac{K_p s + K_i}{s} G_p(s),$$

Observa-se então que o controlador **PI** adiciona um zero em $s = -K_i/K_p$ e um polo em $s = 0$. O efeito da ação integral pode ser analisado a partir do cálculo do erro de estado estacionário do sistema através do Teorema do Valor Final.

Exercício 1: Mostre que o erro de estado estacionário do sistema em malha fechada é dado por

$$e(\infty) = \lim_{s \rightarrow 0} s E(s) = \lim_{s \rightarrow 0} s \frac{R(s)}{1 + G_c(s) G_p(s)}. \quad \textcircled{t}$$

Dado um sistema de controle com a estrutura representada na Fig. 1 (realimentação unitária), define-se o **tipo** da função de malha aberta $G_c(s) G_p(s)$ como sendo igual ao número de polos que $G_c(s) G_p(s)$ apresenta em $s = 0$. Os erros de estados estacionários de um sistema de controle para diferentes tipos de entradas estão diretamente associados ao tipo de $G_c(s) G_p(s)$. Observa-se que se o tipo de $G_c(s) G_p(s)$ for 1, o erro será nulo para uma entrada degrau ($R(s) = 1/s$), constante para uma entrada rampa ($R(s) = 1/s^2$) e infinito para entrada parábola ($R(s) = 1/s^3$). Se o tipo de $G_c(s) G_p(s)$ for 2, os erros serão nulos para entradas degrau e rampa, constante para entrada parábola e infinito para entradas de maiores tipos. Genericamente, para que um sistema de controle exiba erro nulo para uma entrada de tipo n , o tipo do sistema deve ser no mínimo n . Como o tipo de $G_c(s) G_p(s)$ é igual à soma dos tipos de $G_c(s)$ e $G_p(s)$, se por exemplo a planta for do tipo 1, a introdução do termo integral anula erros de regime para entradas degrau e rampa.

Verificou-se na Experiência 3 que a ação derivativa compensa valores elevados da ação proporcional, reduzindo as oscilações e o máximo *overshoot* do sistema. A ação integral tem efeito contrário, isto é, tende a aumentar o máximo *overshoot* ao reduzir o amortecimento, uma vez que a ação proporcional sofre a adição da integral do erro (especialmente no período transitório) até que o erro se anule. Entretanto, este efeito pode ser contornado reduzindo-se a ação proporcional face a ação integral, ou seja escolhendo-se valores apropriados de K_p e K_i . As características de resposta em frequência do controlador **PI** mostram que este tipo de controlador é essencialmente um filtro passa-baixa. Veja o diagrama de Bode¹ assintótico mostrado na figura 2.

De fato, no domínio da frequência,

$$G_c(j\omega) = K_p + \frac{K_i}{j\omega} = \frac{K_i [(K_p/K_i) j\omega + 1]}{j\omega}$$

O módulo de $G_c(j\omega)$ em $\omega = \infty$ é de $20 \log(K_p)$ [dB], o que representa uma atenuação se $K_p < 1$. Esta atenuação pode ajudar a melhorar a estabilidade do sistema. Por outro lado, a fase de $G_c(j\omega)$ é sempre negativa e prejudicial para a estabilidade do sistema. Deve-se portanto posicionar a frequência de corte $\omega = K_i/K_p$ (isto é, escolher K_p , K_i) o mais à esquerda que a especificação de largura de banda permitir, de tal maneira a não degradar a margem de fase do sistema compensado.

¹Hendrik Wade Bode (1905-1982).

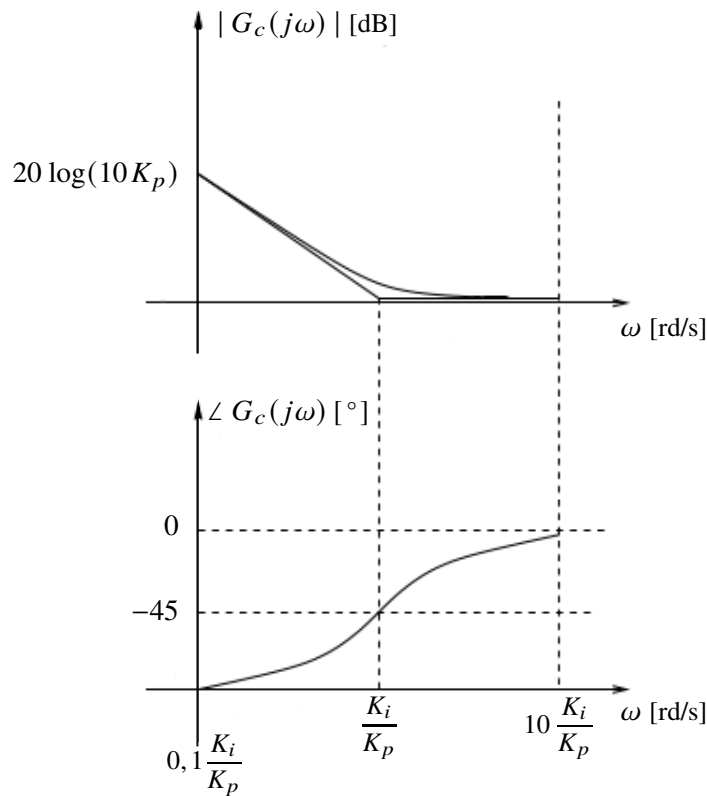


Figura 2: Diagramas de Bode de $G_c(s)$.

2 Emulador Industrial

Nota: Os símbolos g, t, d e s indicam a necessidade de produção de um gráfico, desenvolvimento teórico, diagrama simulink® e script Matlab™, respectivamente.

Os resultados experimentais envolvendo controle **PID** do emulador industrial serão obtidos com a mesma configuração da Experiência 3:

- Sistema rígido apenas com o disco de atuação;
- Correia do disco de atuação ao dispositivo SR desconectada;
- Inércias adicionais sobre o disco de atuação: 4 massas de 0,212 Kg dispostas a 5 cm do centro do disco. Assim, o momento de inércia de cada massa adicional é dado por

$$0,212 \times 0,05^2 + \frac{1}{2} 0,212 \times 0,015^2 = 0,000554 \text{ [N-m]}$$

O modelo dinâmico da planta incorporando o ganho de *hardware* é dado por

$$Gp(s) = \frac{k_{hw}}{Js^2 + c_d s},$$

onde:

$$\begin{aligned} k_{hw} &= 5,767 & [\text{N-m/rd}] \\ J &= J_d + J_w & [\text{Kg-m}^2] \\ J_d &= 0,000407 & [\text{Kg-m}^2] \\ c_d &= 7,38 \cdot 10^{-4} & [\text{N-m/rad/seg}]. \end{aligned}$$

2.1 Controle PI&D do emulador industrial

O controle **PI&D** do emulador industrial pode ser representado como na Fig.3. A função de transferência de malha fechada é

$$\frac{\Theta_1(s)}{R(s)} = \frac{(k_{hw}/J)(K_p s + K_i)}{s^3 + [(c_d + k_{hw} K_d) s^2 + k_{hw} (K_p s + K_i)]/J},$$

Na Experiência 3, considerou-se apenas controladores **P&D**, o que reduziu o sistema em malha fechada a

$$\frac{\Theta_1(s)}{R(s)} = \frac{(k_{hw}/J) K_p}{s^2 + [(c_d + k_{hw} K_d) s + k_{hw} K_p]/J},$$

e definindo-se

$$\omega_n := \sqrt{\frac{k_{hw} K_p}{J}} \quad (1)$$

$$\xi := \frac{c_d + k_{hw} K_d}{2 J \omega_n} = \frac{c_d + k_{hw} K_d}{2 \sqrt{J k_{hw} K_p}} \quad (2)$$

a função de transferência em malha fechada pode ser colocada na forma padrão

$$\frac{\Theta_1(s)}{R(s)} = \frac{\omega_n^2}{s^2 + 2\xi\omega_n s + \omega_n^2}.$$

Como observado na Experiência 3, em alguns casos pode ser vantajoso adotar a implementação da Fig.3, com o termo derivativo na realimentação, ao invés da implementação clássica **PID**, em que todos os termos aparecem no caminho direto.

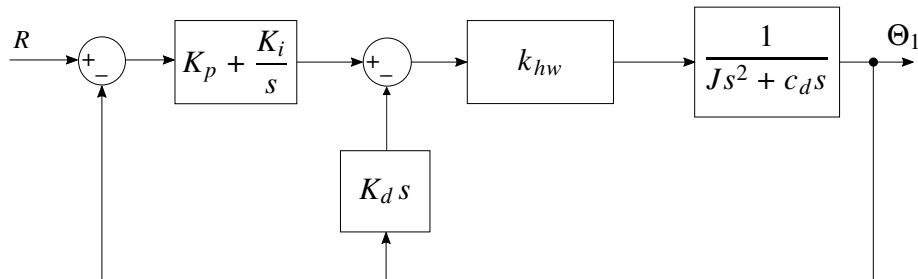


Figura 3: Controle **PI&D** do sistema.

Exercício 2: Mostre que o erro de estado estacionário relativo à implementação P&D ($K_i = 0$) da Fig.3 é ①

$$e(\infty) = \lim_{s \rightarrow 0} s \frac{R(s)(J s^2 + (c_d + k_{hw} K_d) s)}{J s^2 + (c_d + K_d k_{hw}) s + K_p k_{hw}}.$$

enquanto o erro de estado estacionário referente à implementação PD é dada por (t)

$$\tilde{e}(\infty) = \lim_{s \rightarrow 0} s \frac{R(s)(Js^2 + c_d s)}{Js^2 + (c_d + K_d k_{hw})s + K_p k_{hw}}.$$

Suponha agora que na Fig.3 o controlador na malha direta tivesse somente um bloco na forma K_i/s , e na malha interna fosse $K_p + K_d s$, isto é, o ganho proporcional está presente na malha interna e não na malha direta. Verifique para essa estrutura do controlador o erro de regime para entrada degrau unitário, $R(s) = 1/s$ (t), e determine e compare as funções de transferência desta estrutura com as do **PID** e **PI&D** (t).

Para uma entrada degrau ($R(s) = 1/s$), obtém-se então $e(\infty) = \tilde{e}(\infty) = 0$, mas para uma entrada rampa ($R(s) = 1/s^2$), obtém-se $e(\infty) = K_d/K_p$ e $\tilde{e}(\infty) = 0$. O controlador **P&D** não é capaz de anular o erro de estado estacionário para a entrada rampa. De fato, se o sistema de controle da Fig.3 for representado como na Fig.1, então a *planta equivalente* será $G_p(s) = k_{hw}/s (Js + K_d)$, que por ser do tipo 1 exibirá erro constante para entrada rampa (tipo 2).

2.1.1 Procedimento experimental - parte 1

Nesta primeira parte do procedimento experimental, analisa-se o efeito da ação integral sobre o valor de regime da saída do sistema.

1. Ajuste o equipamento de acordo com a configuração definida no início da Seção 2. Certifique-se de que as massas possuam os valores especificados e estejam firmemente posicionadas nas distâncias estabelecidas na configuração. Ajuste a tampa de acrílico na sua posição original. Restaure as definições e parâmetros do software **ECP Executive** utilizadas na Experiência 3;
2. Inicialmente faça $K_i = 0$ e implemente o controlador com os parâmetros K_p e K_d do controlador **P&D** criticamente amortecido obtido na Experiência 3. Certifique-se de que o erro observado na **Background Screen** é inferior a **20** counts antes de implementar o controlador (caso contrário, use a opção **Zero Position** do menu **Utility**). Execute um degrau de malha fechada de **2500** counts e duração de **2000** ms, com **1** repetição. Exporte e plote(usando o script plotRawData.m) a resposta do **Encoder 1** e **Commanded Position** (g);
3. Calcule K_i tal que $K_i k_{hw} = 5$ [N-m/rd-s] (t) e repita o ensaio do item 2. Exporte e plote a resposta do **Encoder 1** e **Commanded Position** (g). Desloque manualmente o disco por cerca de **5** graus e perceba a força aplicada. (Não trave o disco por mais do que **5s** para evitar o surgimento de um torque excessivo);
4. Aumente K_i por um fator de dois ($K_i \leq 2.0$), implemente o controlador, exporte e plote a resposta ao degrau (g); depois desloque manualmente o disco como no item 3, percebendo novamente a força aplicada. Justifique o aumento do torque de compensação com o tempo em termos da ação integral (t). O que acontece quando o disco é liberado? (t)

5. Compare as respostas obtidas nos dois passos acima (respostas ao degrau) com a resposta obtida pelo controlador **P&D** criticamente amortecido (gráficos na mesma figura) **(g)**. Qual o efeito da ação integral sobre o erro de regime **(t)**? Como a ação integral afeta o máximo *overshoot* do sistema **(t)**?
6. Utilizando o comando pzmap do Matlab, obtenha os polos e zeros do sistema em malha fechada para os sistemas dos itens 2, 3 e 4, e utilize-os para explicar o comportamento observado **(t)**.

2.1.2 Procedimento experimental - parte 2

Nesta segunda parte do procedimento experimental, serão analisadas as características de rastreamento da entrada de diferentes controladores.

7. Ajuste o equipamento como nas seções anteriores. Usando $T_s=0.00442$ s, implemente o controlador **P&D** com a opção **PI with Velocity Feedback** ($K_i = 0$) e os valores de K_p e K_d relativos ao caso criticamente amortecido. Faça uma aquisição de dados (**Setup Data Acquisition** no menu **Data**) a cada 4 ciclos;
8. Ajuste o sinal **Trajectory** como sendo do tipo rampa, com **Distance = 8000** counts, **Velocity = 2000** counts/s e **Dwell Time = 400** ms. Execute a trajetória, adquira os dados, exporte e plote o **Commanded Position, Encoder #1 Position** **(g)** e **Control Effort** **(g)**;
9. Repita os passos 7 e 8 com $K_i k_{hw} = 3$ [N-m/rd-s] e usando **PID** na opção **Setup Control Algorithm**, primeiro com $K_i = 0$ para obter um controlador **PD** **(g)**, e depois com $K_i k_{hw} = 3$ [N-m/rd-s], para obter um controlador **PID** **(g)**;
10. Compare os erros para a entrada rampa obtidos nos passos 8 e 9. Justifique as diferenças ao se usar K_d no caminho direto e na realimentação em termos do erro de estado estacionário teórico para uma entrada rampa unitária **(t)**. Algum dos casos apresenta *overshoot*? Por que **(t)**? Compare e justifique as diferenças de esforço de controle **(t)**.

2.1.3 Procedimento experimental - parte 3

Nesta terceira parte do procedimento experimental, serão analisadas as características de resposta em frequência dos sistemas sub-amortecido inicialmente com a ação derivativa na realimentação (**P&D**) e, em seguida, no caminho direto (**PD**).

11. Ajuste o equipamento como nas seções anteriores. Usando $T_s=0.00442$ s, implemente o controlador **P&D** com a opção **PI with Velocity Feedback** e os valores de K_p e K_d relativos ao caso sub-amortecido. Faça uma aquisição de dados apenas do **Encoder #1** (**Setup Data Acquisition** no menu **Data**) a cada 4 ciclos;
12. Ajuste o sinal **Trajectory** como sendo do tipo **Sine Sweep**, com **Amplitude = 500** counts, **Start Frequency = 0.1** [Hz], **End Frequency = 10** [Hz] e **Sweep Time = 60** s, com a opção **Logarithmic Sweep** ativada. Execute a trajetória e adquira os dados, exporte e plote Encoder #1 Position **(g)**. Para obter um gráfico com o eixo da frequência em escala logarítmica e amplitude em [dB], use o comando `semilogx(w, 20*log10(amp))`;

13. Repita os passos 11 e 12 usando um controlador **PD (PID, na opção Setup Control Algorithm)** ^(g). Reduza a amplitude da trajetória **Sine Sweep** para **250 counts** para evitar saturação do atuador em altas frequências;
14. Identifique a frequência de ressonância para o caso sub-amortecido e compare-a com a frequência teórica prevista ($\omega_r = \omega_n \sqrt{1 - 2\xi^2}$) ^(t). Identifique as inclinações das curvas de magnitude de alta (> 5 [Hz]) e baixa (< 1 [Hz]) frequências [dB/dec] e compare-as com as esperadas teoricamente, utilizando os diagramas de Bode assintóticos ^(t).

2.2 Pré-relatório da experiência 5

As seguintes tarefas de simulação deverão ser realizadas e os resultados apresentados no início da próxima experiência. A configuração abaixo será adotada:

- Discos acoplados rigidamente;
- 2 massas de 212 g a 5 cm do centro do disco de atuação;
- 4 massas de 500 g a 10 cm do centro do disco de carga;
- Redução de velocidade de 4.5 : 1

Calcule o momento de inércia equivalente J refletido no disco de atuação e considere o sistema de controle da Fig. 4, onde $G_c(s)$ representa um controlador a ser utilizado e τ_d representa um torque de perturbação. Os valores dos parâmetros J e c_d estão disponíveis no início do roteiro. Considere as seguintes alternativas para o controlador $G_c(s)$:

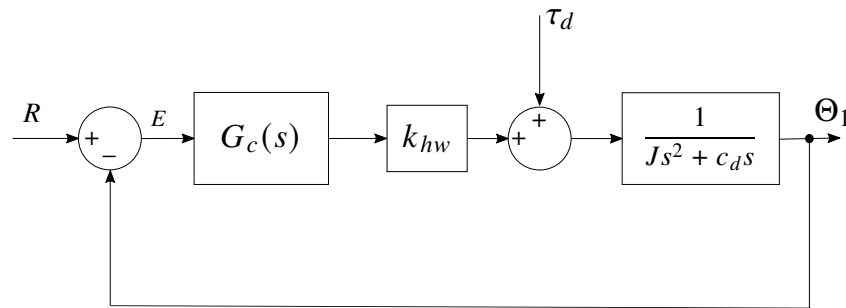


Figura 4: Controle sujeito a perturbações.

- C1:** controlador **PD** de modo que em malha fechada tenha-se $\omega_n = 4\pi$ [rad/s] e $\xi = 0,707$;
- C2:** mesmo controlador do item C1 adicionando-se o efeito integral com $K_i = 1,0$;
- C3:** mesmo controlador do item C1 em série com um filtro *lead*.

$$F(s) = \frac{n_0 + n_1 s}{d_0 + d_1 s}$$





projetado de acordo com as seguintes especificações: zero em $0,4\pi$ [rad/s], polo em 2π [rad/s] e ganho DC igual a 1;

Com o objetivo de analisar a influência do torque de perturbação sobre a saída do sistema, obtenha para cada um dos controladores acima:

1. A função de transferência de malha aberta $k_{hw} G_c(s) P(s)$ e a função de transferência de malha fechada $\frac{\Theta_1(s)}{\tau_d(s)}$;
2. Os diagramas de Bode de $k_{hw} G_c(s) P(s)$ e $\frac{\Theta_1(s)}{\tau_d(s)}$.

Analise as características de atenuação de distúrbios exibidas por cada um dos controladores em termos dos seus respectivos diagramas de Bode.

3 Sistema Retilíneo

Nota: Os símbolos , ,  e  indicam a necessidade de produção de um gráfico, desenvolvimento teórico, diagrama simulink® e script Matlab™, respectivamente.

Os resultados experimentais envolvendo controle **PID** do sistema retilíneo serão obtidos com a mesma configuração da Experiência 3:

- 4 massas de 500 g sobre o carro #1;
- Molas e amortecedor desconectadas do carro #1.

O modelo dinâmico da planta incorporando o ganho de *hardware* foi obtido na Experiência 3 e é do por

$$G_p(s) = \frac{k_{hw}}{ms^2 + c_1s},$$

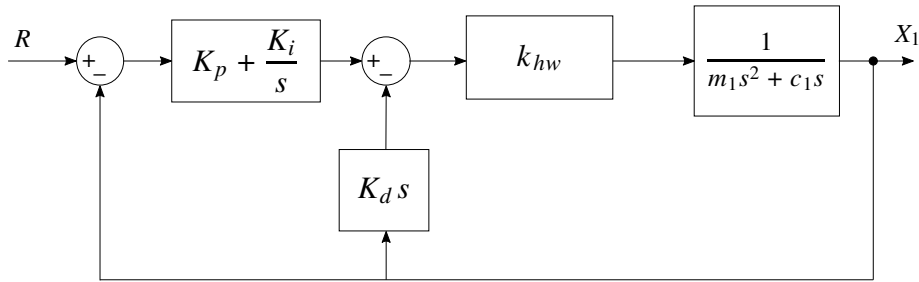
onde

$$\begin{aligned} k_{hw} &= 14732 & [\text{Nm}] \\ m_1 &= 0,778 & [\text{Kg}] \\ m &= m_1 + m_w & [\text{Kg}] \\ c_1 &= 2,94 & [\text{N/m/s}] \end{aligned}$$

3.1 Controle PI&D do sistema retilíneo

O controle em malha fechada do sistema pode ser representado como na Fig.5. A função de transferência de malha fechada é

$$\frac{X_1(s)}{R(s)} = \frac{(k_{hw}/m)(K_p s + K_i)}{s^3 + [(c_1 + k_{hw} K_d)s^2 + k_{hw}(K_p s + K_i)]/m},$$

Figura 5: Controle **PI&D** do sistema.

Na Experiência 3, considerou-se apenas controladores P&D ($K_i = 0$), o que reduziu o sistema em malha fechada a

$$\frac{X_1(s)}{R(s)} = \frac{(k_{hw}/m) K_p}{s^2 + [(c_1 + k_{hw} K_d) s + k_{hw} K_p] / m},$$

Definindo-se

$$\omega_n := \sqrt{\frac{k_{hw} K_p}{m}} \text{ [rd/s]} \quad (3)$$

$$\xi := \frac{c_1 + k_{hw} K_d}{2 m \omega_n} = \frac{c_1 + k_{hw} K_d}{2 \sqrt{m k_{hw} K_p}} \quad (4)$$

a função de transferência em malha fechada pôde ser colocada na forma padrão

$$\frac{X_1(s)}{R(s)} = \frac{\omega_n^2}{s^2 + 2 \xi \omega_n s + \omega_n^2}.$$

Como observado na Experiência 3, em alguns casos pode ser vantajoso adotar a implementação da Fig.5, com o termo derivativo na realimentação, ao invés da implementação clássica em que todos os termos do **PID** aparecem no caminho direto.

Exercício 2: Mostre que o erro de estado estacionário relativo à implementação **P&D** ($K_i = 0$) da Fig.5 é

$$e(\infty) = \lim_{s \rightarrow 0} s \frac{R(s)(m s^2 + (c_1 + k_{hw} K_d) s)}{m s^2 + (c_1 + K_d k_{hw}) s + K_p k_{hw}}, \quad (\text{t})$$

enquanto o erro de estado estacionário referente à implementação **PD** é dada por

$$\tilde{e}(\infty) = \lim_{s \rightarrow 0} s \frac{R(s)(m s^2 + c_1 s)}{m s^2 + (c_1 + K_d k_{hw}) s + K_p k_{hw}}. \quad (\text{t})$$

Suponha agora que na Fig.5 o controlador na malha direta tivesse somente um bloco na forma K_i/s , e na malha interna fosse $K_p + K_d s$, isto é, o ganho proporcional está presente na malha interna e não na malha direta. Verifique para essa estrutura do controlador o erro de regime para entrada degrau unitário, $R(s) = 1/s$ (t), e determine e compare as funções de transferência

desta estrutura com as do **PID** e **PI&D** ^(t).

Para uma entrada degrau ($R(s) = 1/s$), obtém-se então $e(\infty) = \tilde{e}(\infty) = 0$, mas para uma entrada rampa ($R(s) = 1/s^2$), obtém-se $e(\infty) = K_d/K_p$ e $\tilde{e}(\infty) = 0$. O controlador **P&D** não é capaz de anular o erro de estado estacionário para a entrada rampa. De fato, se o sistema de controle da Fig.5 for representado como na Fig.1, então a planta equivalente será $G_p(s) = k_{hw}/s(m s + K_d)$, que por ser do tipo 1 exibirá erro constante para entrada rampa (tipo 2).

3.1.1 Procedimento experimental - parte 1

Nesta primeira parte do procedimento experimental, analisa-se o efeito da ação integral sobre o valor de regime da saída do sistema.

1. Ajuste o equipamento de acordo com a configuração definida no início da Sessão 3. Certifique-se de que as massas estejam firmemente ajustadas sobre o carro. Restaure as definições e parâmetros do software ECP Executive utilizadas na Experiência 3;
2. Inicialmente faça $K_i = 0$ e implemente o controlador com os parâmetros K_p e K_d do controlador **P&D** criticamente amortecido obtido na Experiência 3. Certifique-se de que o erro observado na **Background Screen** é inferior a **20** counts antes de implementar o controlador (caso contrário, use a opção **Zero Position** do menu **Utility**). Execute um degrau de malha fechada de **2500** counts e duração de **2000** ms, com **1** repetição. Exporte e plote(usando o script plotRawData.m) a resposta do **Encoder 1** e **Commanded Position** ^(g);
3. Calcule K_i tal que $K_i k_{hw} = 7500$ [Nm/rd-s] ^(t) e repita o ensaio do item 2. Exporte e plote a resposta do **Encoder 1** e **Commanded Position** ^(g). Desloque manualmente o carro #1 por cerca de **5** mm e perceba a força aplicada. (Não trave o disco por mais do que **5** s para evitar o surgimento de um torque excessivo);
4. Aumente K_i por um fator de dois ($K_i < 3.0$), implemente o controlador, exporte e plote a resposta ao degrau ^(g); depois desloque manualmente o carro como no item anterior, percebendo novamente a força aplicada. Justifique o aumento do torque de compensação com o tempo em termos da ação integral ^(t). O que acontece quando o carro é liberado ^(t)?
5. Compare as respostas obtidas nos dois passos acima (respostas ao degrau) com a resposta obtida pelo controlador **P&D** criticamente amortecido (gráficos na mesma figura) ^(g). Qual o efeito da ação integral sobre o erro de regime ^(t)? Como a ação integral afeta o máximo *overshoot* do sistema ^(t)?
6. Utilizando o comando pzmap do Matlab, obtenha os polos e zeros do sistema em malha fechada para os sistemas dos itens 2, 3 e 4, e utilize-os para explicar o comportamento observado ^(t).

3.1.2 Procedimento experimental - parte 2

Nesta segunda parte do procedimento experimental, serão analisadas as características de rastreamento da entrada de diferentes controladores.

7. Ajuste o equipamento como nas seções anteriores. Usando $T_s=0.00442$ s, implemente o controlador **P&D** com a opção **PI with Velocity Feedback** ($K_i = 0$) e os valores de K_p e K_d relativos ao caso criticamente amortecido. Faça uma aquisição de dados (**Setup Data Acquisition** no menu **Data**) a cada 4 ciclos;
8. Ajuste o sinal **Trajectory** como sendo do tipo rampa, com **Distance = 2000** counts, **Velocity = 2000** counts/s e **Dwell Time = 100** ms. Execute a trajetória, adquira os dados, exporte e plote o **Commanded Position**, **Encoder #1 Position** (g) e **Control Effort** (g);
9. Repita os passos 7 e 8 com $K_i k_{hw} = 7500$ [N/m-s] usando **PID** na opção **Setup Control Algorithm**, primeiro com $K_i = 0$ para obter um controlador **PD** (g), e depois com $K_i k_{hw} = 7500$ [N/m-s], para obter um controlador **PID** (g);
10. Compare os erros para a entrada rampa obtidos nos passos 8 e 9. Justifique as diferenças ao se usar K_d no caminho direto e na realimentação em termos do erro de estado estacionário teórico para uma entrada rampa unitária (t). Algum dos casos apresenta *overshoot*? Por que (t)? Compare e justifique as diferenças de esforço de controle (t).

3.1.3 Procedimento experimental - parte 3

11. Ajuste o equipamento como nas seções anteriores. Usando $T_s=0.00442$ s, implemente o controlador **P&D** com a opção **PI with Velocity Feedback** e os valores de K_p e K_d relativos ao caso sub-amortecido ($\xi = 0.2$). Faça uma aquisição de dados apenas do **Encoder #1** (**Setup Data Acquisition** no menu **Data**) a cada 4 ciclos;
12. Ajuste o sinal **Trajectory** como sendo do tipo **Sine Sweep**, com Amplitude = 400 counts, Start Frequency = 0.1 [Hz], End Frequency = 20 [Hz] e Sweep Time = 60 s, com a opção **Logarithmic Sweep** ativada. Execute a trajetória e adquira os dados, exporte e plote **Encoder #1 Position** (g). Para obter um gráfico com o eixo da frequência em escala logarítmica e amplitude em [dB], use o comando `semilogx(w, 20*log10(amp))`;
13. Repita os passos 11 e 12 usando um controlador **PD** (PID), na opção **Setup Control Algorithm** (g). Reduza a amplitude da trajetória **Sine Sweep** para 250 counts para evitar saturação do atuador em altas frequências;
14. Identifique a frequência de ressonância para o caso sub-amortecido e compare-a com a frequência teórica prevista ($\omega_r = \omega_n \sqrt{1 - 2\xi^2}$) (t). Identifique as inclinações das curvas de magnitude de alta (> 5 [Hz]) e baixa (< 1 [Hz]) frequências [dB/dec] e compare-as com as esperadas teoricamente, utilizando os diagramas de Bode assintóticos (t).

3.2 Pré-relatório da experiência 5

As seguintes tarefas de simulação deverão ser realizadas e os resultados apresentados no início da próxima experiência. A configuração abaixo será adotada:

- Carros #1 e #2 conectados por uma mola de dureza média;
- 4 massas de 500 g sobre os carros #1 e #2;
- Amortecedor desconectado dos carros.

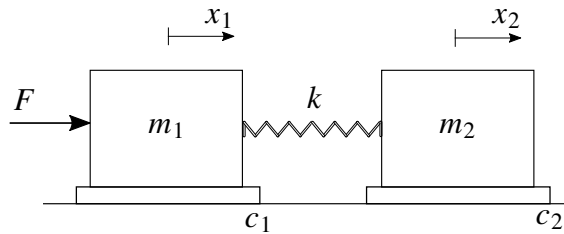


Figura 6: Controle sujeito a perturbações.

Dados

| | | |
|------------------------------------|------------------------------------|---------------------------|
| $m_{c1} = 0,778$ [Kg] | $m_{c2} = 0,582$ [Kg] | (massa dos carros) |
| $m_1 = m_{c1} + 4 \times 0.5$ [Kg] | $m_2 = m_{c2} + 4 \times 0.5$ [Kg] | (massa total dos carros) |
| $c_1 = 3,92$ [N/(m/s)] | $c_2 = 2,36$ [N/(m/s)] | (coef. atrito dos carros) |
| $k = 338,6$ [N/m] | | (constante de mola) |
| $k_{hw} = 14732$ | | (ganho de hardware) |

Considere o sistema de controle da Fig.7, onde $G_c(s) = K_p + K_d s$ representa o controlador PD a ser utilizado, F_d representa uma força de perturbação e

$$\begin{aligned} N_1(s) &= m_2 s^2 + c_2 s + k \\ N_2(s) &= k \\ D(s) &= m_1 m_2 s^4 + (c_1 m_2 + c_2 m_1) s^3 + [(m_1 + m_2) k + c_1 c_2] s^2 + (c_1 + c_2) k s. \end{aligned}$$

Com o objetivo de analisar a influência da força de perturbação sobre a saída do sistema, considere os seguintes controladores: **PD₁**: $K_p = 1.0$; $K_d = 0.03$ e **PD₂**: $K_p = 0.05$; $K_d = 0.01$.

1. Analise as localização dos polos das funções de transferência $X_1(s)/R(s)$ e $X_2(s)/R(s)$ produzidas pelos controladores PD₁ e PD₂. Quais são os polos dominantes em cada caso? Analise os comportamentos temporais de x_1 e x_2 para uma entrada degrau;
2. Obtenha os diagramas de Bode das funções de transferência:
de malha aberta $k_{hw} G_c(s) \cdot \frac{N_1(s)}{D(s)}$; de malha fechada $\frac{X_1(s)}{F_d(s)}$;
3. Analise as características de atenuação de distúrbios exibidas por cada um dos controladores PD através de diagramas de Bode.

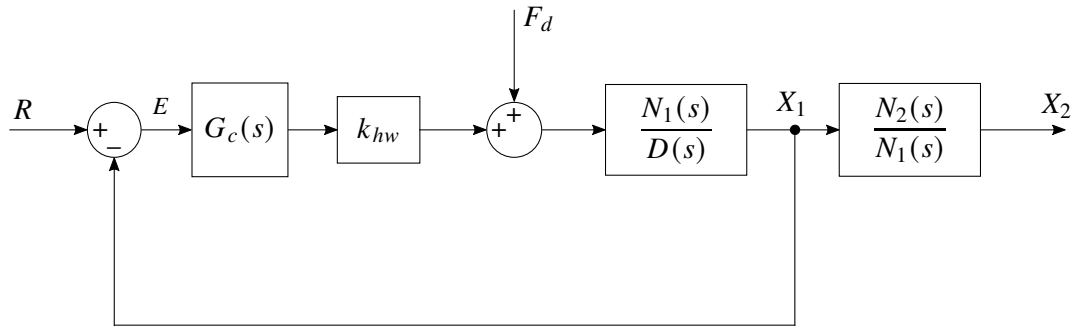


Figura 7: Controle sujeito a perturbações.

4 Sistema Torcional

Nota: Os símbolos g, t, d e s indicam a necessidade de produção de um gráfico, desenvolvimento teórico, diagrama simulink^{textregistered} e script MatlabTM, respectivamente.

Os resultados experimentais envolvendo controle **PID** do sistema torcional serão obtidos com a mesma configuração da Experiência 3:

- Discos #2 e #3 removidos;
- Inércias adicionais sobre o disco #1: 2 massas de 0.500 Kg dispostas a 9 cm do centro do disco. O momento de inércia de cada massa adicional é dado por

$$0,5 \times 0,09^2 + \frac{1}{2} 0,5 \times 0,025^2 = 0,0042 \text{ [N-m]}$$

O modelo dinâmico da planta incorporando o ganho de *hardware* foi obtido na Experiência 3 e é dado por

$$G_p(s) = \frac{k_{hw}}{Js^2 + c_1s},$$

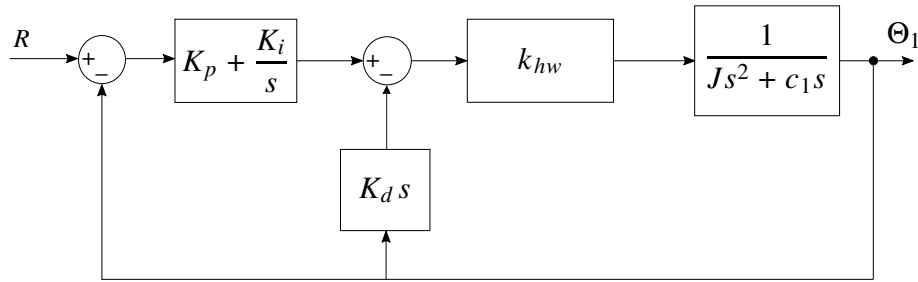
onde:

$$\begin{aligned} k_{hw} &= 17,58 & [\text{Nm/rad}] \\ J_{d1} &= 0,00238 & [\text{Kg m}^2] \\ J &= J_{d1} + J_w & [\text{Kg m}^2] \\ c_1 &= 7,6 \times 10^{-3} & [\text{Nm/(rad/s)}]. \end{aligned}$$

4.1 Controle PI&D do sistema torcional

O controle (P&D) em malha fechada do sistema pode ser representado como na Fig.8. A função de transferência de malha fechada é

$$\frac{\Theta_1(s)}{R(s)} = \frac{(k_{hw}/J)(K_p s + K_i)}{s^3 + [(c_1 + k_{hw}K_d)s^2 + k_{hw}(K_p s + K_i)]/J},$$

Figura 8: Controle **PI&D** do sistema.

Na Experiência 3, considerou-se apenas controladores **P&D**, o que reduziu o sistema em malha fechada a

$$\frac{\Theta_1(s)}{R(s)} = \frac{(k_{hw}/J) K_p}{s^2 + [(c_1 + k_{hw} K_d) s + k_{hw} K_p] / J},$$

e definindo-se

$$\omega_n := \sqrt{\frac{k_{hw} K_p}{J}} \quad (5)$$

$$\xi := \frac{c_1 + k_{hw} K_d}{2J\omega_n} = \frac{c_1 + k_{hw} K_d}{2\sqrt{J k_{hw} K_p}} \quad (6)$$

a função de transferência em malha fechada pode ser colocada na forma padrão

$$\frac{\Theta_1(s)}{R(s)} = \frac{\omega_n^2}{s^2 + 2\xi\omega_n s + \omega_n^2}.$$

Como observado na Experiência 3, em alguns casos pode ser vantajoso adotar a implementação da Fig.8, com o termo derivativo na realimentação, ao invés da implementação clássica **PID**, em que todos os termos aparecem no caminho direto.

Exercício 2: Mostre que o erro de estado estacionário relativo à implementação **P&D** ($K_i = 0$) da Fig.8 é

$$e(\infty) = \lim_{s \rightarrow 0} s \frac{R(s)(Js^2 + (c_1 + k_{hw} K_d)s)}{Js^2 + (c_1 + K_d k_{hw})s + K_p k_{hw}}, \quad (\text{t})$$

enquanto o erro de estado estacionário referente à implementação **PD** é dada por

$$\tilde{e}(\infty) = \lim_{s \rightarrow 0} s \frac{R(s)(Js^2 + c_1 s)}{Js^2 + (c_1 + K_d k_{hw})s + K_p k_{hw}}. \quad (\text{t})$$

Suponha agora que na Fig.8 o controlador na malha direta tivesse somente um bloco na forma K_i/s , e na malha interna fosse $K_p + K_d s$, isto é, o ganho proporcional está presente na malha interna e não na malha direta. Verifique para essa estrutura do controlador o erro de regime para entrada degrau unitário, $R(s) = 1/s$ (t), e determine e compare as funções de transferência desta estrutura com as do **PID** e **PI&D** (t).

Para uma entrada degrau ($R(s) = 1/s$), obtém-se então $e(\infty) = \tilde{e}(\infty) = 0$, mas para uma entrada rampa ($R(s) = 1/s^2$), obtém-se $e(\infty) = K_d/K_p$ e $\tilde{e}(\infty) = 0$. O controlador **P&D** não é capaz de anular o erro de estado estacionário para a entrada rampa. De fato, se o sistema de controle da Fig.8 for representado como na Fig.1, então a planta equivalente será $G_p(s) = k_{hw}/s (Js + K_d)$, que por ser do tipo 1 exibirá erro constante para entrada rampa (tipo 2).

4.1.1 Procedimento experimental - parte 1

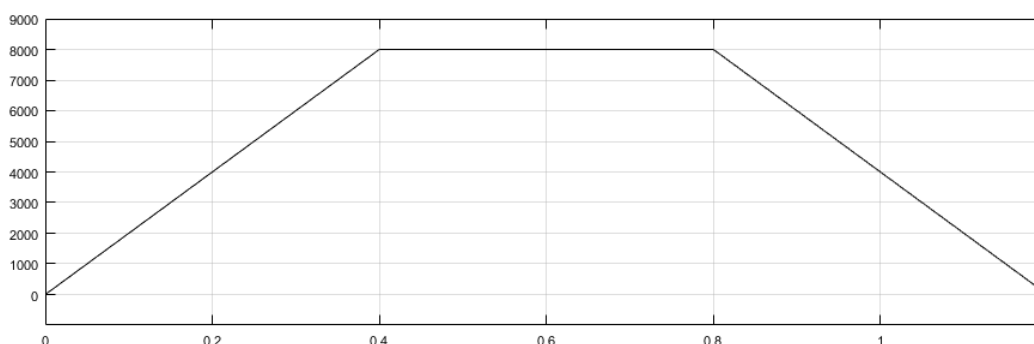
Nesta primeira parte do procedimento experimental, analisa-se o efeito da ação integral sobre o valor de regime da saída do sistema.

1. Ajuste o equipamento de acordo com a configuração definida no início da Seção 4. Certifique-se de que as massas possuam os valores especificados e estejam firmemente posicionadas nas distâncias estabelecidas na configuração. Restaure as definições e parâmetros do software **ECP Executive** utilizadas na Experiência 3;
2. Inicialmente faça $K_i = 0$ e implemente o controlador com os parâmetros K_p e K_d do controlador **P&D** criticamente amortecido obtido na Experiência 3. Certifique-se de que o erro observado na **Background Screen** é inferior a **20** counts antes de implementar o controlador (caso contrário, use a opção **Zero Position** do menu **Utility**). Execute um degrau de malha fechada de **2500** counts e duração de **8000** ms, com **1** repetição. Exporte e plote(usando o script `plotRawData.m`) a resposta do **Encoder 1** e **Commanded Position** (g);
3. Calcule K_i tal que $K_i k_{hw} = 3$ [Nm/rd-s] (t) e repita o ensaio do item 2. Exporte e plote a resposta do **Encoder 1** e **Commanded Position** (g). Desloque manualmente o disco por cerca de **5** graus e perceba a força aplicada. (Não trave o disco por mais do que **5** s para evitar o surgimento de um torque excessivo);
4. Aumente K_i por um fator de dois ($K_i < 1.0$), implemente o controlador, exporte e plote a resposta ao degrau (g); depois desloque manualmente o disco como no item anterior, percebendo novamente a força aplicada. Justifique o aumento do torque de compensação com o tempo em termos da ação integral (t). O que acontece quando o disco é liberado (t)?
5. Compare as respostas obtidas nos dois passos acima (respostas ao degrau) com a resposta obtida pelo controlador **P&D** criticamente amortecido (gráficos na mesma figura) (g). Qual o efeito da ação integral sobre o erro de regime (t)? Como a ação integral afeta o máximo *overshoot* do sistema (t)?
6. Utilizando o comando `pzmap` do Matlab, obtenha os polos e zeros do sistema em malha fechada para os sistemas dos itens 2, 3 e 4, e utilize-os para explicar o comportamento observado (t).

4.1.2 Procedimento experimental - parte 2

Nesta segunda parte do procedimento experimental, serão analisadas as características de rastreamento da entrada de diferentes controladores.

7. Ajuste o equipamento como nas seções anteriores. Usando $T_s=0.00442s$, implemente o controlador **P&D** com a opção **PI with Velocity Feedback** ($K_i = 0$) e os valores de K_p e K_d relativos ao caso criticamente amortecido. Faça uma aquisição de dados (**Setup Data Acquisition** no menu **Data**) a cada 4 ciclos;
8. Ajuste o sinal **Trajectory** como sendo do tipo rampa, com **Distance = 8000 counts**, **Velocity = 2000 counts/s** e **Dwell Time = 400 ms**. Execute a trajetória, adquira os dados, exporte e plote o **Commanded Position**, **Encoder #1 Position** (g) e **Control Effort** (g);



9. Repita os passos 7 e 8 com $K_i k_{hw} = 3$ [Nm/rd-s] e usando **PID** na opção **Setup Control Algorithm**, primeiro com $K_i = 0$ para obter um controlador **PD** (g), e depois com $K_i k_{hw} = 3$ [Nm/rd-s], para obter um controlador **PID** (g);
10. Compare os erros para a entrada rampa obtidos nos passos 8 e 9. Justifique as diferenças ao se usar K_d no caminho direto e na realimentação em termos do erro de estado estacionário teórico para uma entrada rampa unitária (t). Algum dos casos apresenta *overshoot*? Por que (t)? Compare e justifique as diferenças de esforço de controle (t).

4.1.3 Procedimento experimental - parte 3

Nesta terceira parte do procedimento experimental, serão analisadas as características de resposta em frequência dos sistemas sub-amortecido inicialmente com a ação derivativa na realimentação (**P&D**) e, em seguida, no caminho direto (**PD**).

11. Usando o controlador **P&D** e os valores de K_p e K_d relativos ao caso sub-amortecido ($\xi = 0.2$). Faça uma aquisição de dados apenas do **Encoder #1** (Setup Data Acquisition) no menu **Data** a cada 4 ciclos;
12. Ajuste o sinal **Trajectory** como sendo do tipo **Sine Sweep**, com **Amplitude = 400 counts**, **Start Frequency = 0.1 [Hz]**, **End Frequency = 10 [Hz]** e **Sweep Time = 60 s**, com a opção **Logarithmic Sweep** ativada. Execute a trajetória e adquira os dados, exporte e plote

Encoder #1 Position ^(g). Para obter um gráfico com o eixo da frequência em escala logarítmica e amplitude em [dB], use o comando `semilogx(w, 20*log10(amp))`;

13. Repita os passos 11 e 12 usando um controlador PD (**PID** na opção **Setup Control Algorithm**) ^(g). Reduza a amplitude da trajetória **Sine Sweep** para **250 counts** para evitar saturação do atuador em altas frequências;
14. Identifique a frequência de ressonância para o caso sub-amortecido e compare-a com a frequência teórica prevista ($\omega_r = \omega_n \sqrt{1 - 2\xi^2}$) ^(t). Identifique as inclinações das curvas de magnitude de alta (> 5 [Hz]) e baixa (< 1 [Hz]) frequências [dB/dec] e compare-as com as esperadas teoricamente, utilizando os diagramas de Bode assintóticos ^(t).

4.2 Pré-relatório da experiência 5

As seguintes tarefas de simulação deverão ser realizadas e os resultados apresentados no início da próxima experiência. A configuração abaixo será adotada:

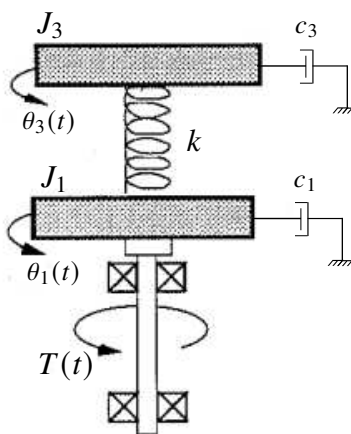


Figura 9: Sistema com dois graus de liberdade.

- Discos #1 e #3 conectados à mola; disco #2 removido;
- 2 massas de 500 g a 9 cm do centro dos discos #1 e #3;

Dados

| | | |
|----------|--|--------------------------------------|
| J_{d1} | $= 0,00238 \text{ [Kg m}^2\text{]}$ | Momento de inércia do disco #1 |
| J_{d3} | $= 0,00187 \text{ [Kg m}^2\text{]}$ | Momento de inércia do disco #3 |
| J_1 | $= J_{d1} + 2 \times 0,0042 \text{ [Kg m}^2\text{]}$ | Momento de inércia total do disco #1 |
| J_3 | $= J_{d3} + 2 \times 0,0042 \text{ [Kg m}^2\text{]}$ | Momento de inércia total do disco #3 |
| c_1 | $= 0,00764 \text{ [Nm/(rad/s)]}$ | Coefficiente de atrito do disco #1 |
| c_3 | $= 0,00133 \text{ [Nm/(rad/s)]}$ | Coefficiente de atrito do disco #3 |
| k | $= 1,32 \text{ [N/rad]}$ | Constante de mola equivalente |
| k_{hw} | $= 17,58$ | Ganho de hardware |

Considere o sistema de controle da Fig. 10, onde $G_c(s) = K_p + K_d s$ representa o controlador **PD** a ser utilizado, F_d representa uma força de perturbação e

$$\begin{aligned} N_1(s) &= J_3 s^2 + c_3 s + k \\ N_3(s) &= k \\ D(s) &= J_1 J_3 s^4 + (c_1 J_3 + c_3 J_1) s^3 + [(J_1 + J_3)k + c_1 c_3] s^2 + (c_1 + c_3) k s. \end{aligned}$$

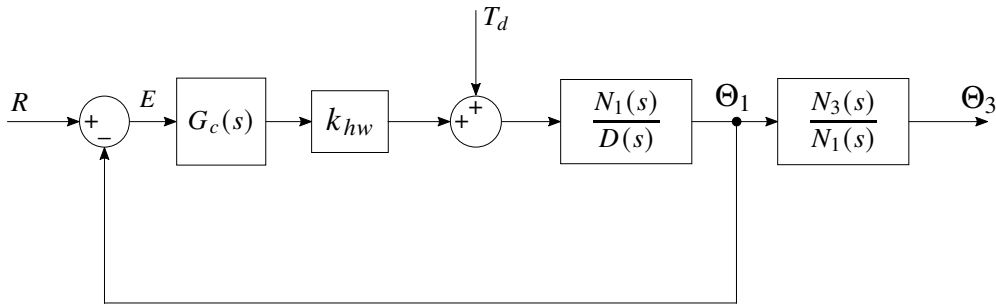






Figura 10: Controle sujeito a perturbações.

Com o objetivo de analisar a influência da força de perturbação sobre a saída do sistema, considere os seguintes controladores: **PD**₁: $K_p = 1,0$; $K_d = 0,9$ e **PD**₂: $K_p = 0,06$; $K_d = 0,015$.

1. Analise as localização dos polos das funções de transferência $\Theta_1(s)/R(s)$ e $\Theta_3(s)/R(s)$ produzidas pelos controladores **PD**₁ e **PD**₂. Quais são os polos dominantes em cada caso? Analise os comportamentos temporais de θ_1 e θ_3 para uma entrada degrau;
2. Obtenha os diagramas de Bode das funções de transferência:
de malha aberta $k_{hw} G_c(s) \cdot \frac{N_1(s)}{D(s)}$; de malha fechada $\frac{\Theta_1(s)}{T_d(s)}$;
3. Analise as características de atenuação de distúrbios exibidas por cada um dos controladores **PD** através de diagramas de Bode.

5 Pêndulo Invertido

Nota: Os símbolos , ,  e  indicam a necessidade de produção de um gráfico, desenvolvimento teórico, diagrama simulink® e script Matlab™, respectivamente.

Nesta da experiência, considera-se o controle **PI&D** da haste deslizante do pêndulo, como na Experiência 3, seção 5.1:

- haste rotacional livre;
- pesos "orelhas" instalados na haste deslizante.

O modelo dinâmico da planta incorporando o ganho de *hardware* é dado por

$$G_p(s) = \frac{k_{hw}}{m^* s^2 + c_1 s},$$

onde

$$\begin{aligned} k_{hw} &= k_s k_f k_x = 2088,32 \text{ [N/m]} \\ \bar{J} &= 4,32 \times 10^{-2} \text{ [Kg m}^2\text{]} \\ \ell_o^2 &= 0,33 \text{ [m]} \\ m_1 &= m_{10} + m_{w1} = 0,2376 \text{ [Kg]} \\ m_2^* &= \bar{J} / \ell_o^2 \text{ [Kg]} \\ m^* &= m_1 m_2^* / (m_1 + m_2^*) \text{ [Kg]} \\ c_1 &= 0,2254 \text{ [N s/m]} \end{aligned}$$

5.1 Controle PI&D do pêndulo invertido

O controle em malha fechada do sistema pode ser representado como na Fig.11. A função de transferência de malha fechada é

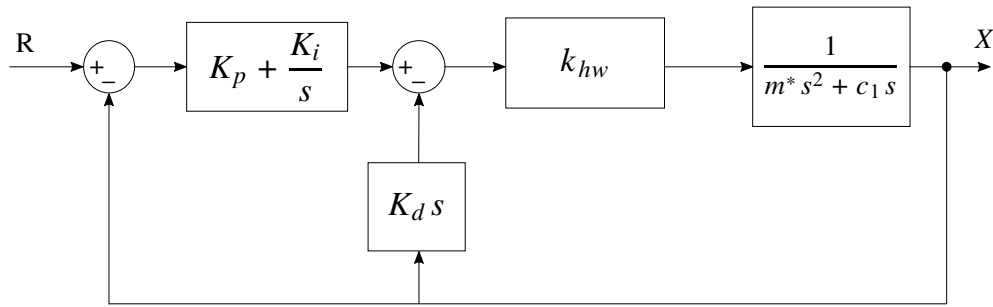


Figura 11: Controle **PI&D** do sistema.

$$\frac{X(s)}{R(s)} = \frac{(k_{hw}/m^*)(K_p s + K_i)}{s^3 + [(c_1 + k_{hw} K_d) s^2 + k_{hw} (K_p s + K_i)]/m^*},$$

Considerando-se apenas controladores P&D ($K_i = 0$), o que reduziu o sistema em malha fechada a

$$\frac{X(s)}{R(s)} = \frac{(k_{hw}/m^*) K_p}{s^2 + [(c_1 + k_{hw} K_d) s + k_{hw} K_p]/m^*},$$

Definindo-se

$$\omega_n := \sqrt{\frac{k_{hw} K_p}{m^*}} \text{ [rd/s]} \quad (7)$$

$$\xi := \frac{c_1 + k_{hw} K_d}{2 m^* \omega_n} = \frac{c_1 + k_{hw} K_d}{2 \sqrt{m^* k_{hw} K_p}} \quad (8)$$

a função de transferência em malha fechada pôde ser colocada na forma padrão

$$\frac{X(s)}{R(s)} = \frac{\omega_n^2}{s^2 + 2\xi\omega_n s + \omega_n^2}.$$

Como observado na Experiência 3, em alguns casos pode ser vantajoso adotar a implementação da Fig. 11, com o termo derivativo na realimentação, ao invés da implementação clássica em que todos os termos do **PID** aparecem no caminho direto.

Exercício 2: Mostre que o erro de estado estacionário relativo à implementação **P&D** ($K_i = 0$) da Fig. 11 é

$$e(\infty) = \lim_{s \rightarrow 0} s \frac{[m^* s^2 + (c_1 + k_{hw} K_d) s] R(s)}{m^* s^2 + (c_1 + k_{hw} K_d) s + K_p k_{hw}}, \quad (t)$$

enquanto o erro de estado estacionário referente à implementação **PD** é dada por

$$\tilde{e}(\infty) = \lim_{s \rightarrow 0} s \frac{(m^* s^2 + c_1 s) R(s)}{m^* s^2 + (c_1 + k_{hw} K_d) s + K_p k_{hw}}. \quad (t)$$

Suponha agora que na Fig. 11 o controlador na malha direta tivesse somente um bloco na forma K_i/s , e na malha interna fosse $K_p + K_d s$, isto é, o ganho proporcional está presente na malha interna e não na malha direta. Verifique para essa estrutura do controlador o erro de regime para entrada degrau unitário, $R(s) = 1/s$ (t), e determine e compare as funções de transferência desta estrutura com as do **PID** e **PI&D** (t).

Para uma entrada degrau ($R(s) = 1/s$), obtém-se então $e(\infty) = \tilde{e}(\infty) = 0$, mas para uma entrada rampa ($R(s) = 1/s^2$), obtém-se $e(\infty) = K_d/K_p$ e $\tilde{e}(\infty) = 0$. O controlador **P&D** não é capaz de anular o erro de estado estacionário para a entrada rampa. De fato, se o sistema de controle da Fig. 11 for representado como na Fig. 1, então a planta equivalente é $G_p(s) = k_{hw}/s (m^* s + K_d)$, que por ser do tipo 1 exibirá erro constante para entrada rampa (tipo 2).

5.1.1 Procedimento experimental - parte 1

Nesta primeira parte do procedimento experimental, analisa-se o efeito da ação integral sobre o valor de regime da saída do sistema.

1. Ajuste o equipamento com a configuração definida no início da Sessão 5. Restaure as definições e parâmetros do software **ECP Executive** utilizadas na Experiência 3;
2. Faça $K_i = 0$, implementando o controlador **P&D** criticamente amortecido com $\omega_n = 14\pi$ [rd/s]. Execute um degrau de malha fechada de **1000** counts e duração de **2000** ms, com **1** repetição. Exporte e plote (usando o script `plotRawData.m`) a resposta do **Encoder #2** e **Commanded Position** no eixo esquerdo e **Encoder #1** no eixo direito (g);
3. Calcule K_i tal que $K_i k_{hw} = 2500$ [N/m·s]. Implemente o controlador com este valor de K_i ($K_i < 1,5$) e os parâmetros K_p e K_d do controlador **P&D** criticamente amortecido com $\omega_n = 14\pi$ rd/s, conforme o pré-relatório desta Experiência. Execute com a entrada em degrau conforme o item anterior e gere um gráfico (g);

4. Aumente K_i por um fator de dois ($K_i \leq 3.0$), implemente o controlador, exporte e plote a resposta ao degrau (g); **Atenção:** Gire cuidadosamente o eixo que aciona a haste deslizante por cerca de 5 mm e perceba a força aplicada. (Não trave a posição da haste por mais do que 2 s para evitar o surgimento de uma força excessiva). Justifique o aumento da força de compensação com o tempo em termos da ação integral (t). O que acontece quando a haste é liberada? (t)
5. Compare as respostas obtidas nos dois passos 3 e 4 com a resposta obtida pelo controlador **P&D** criticamente amortecido (gráficos na mesma figura) (g). Qual o efeito da ação integral sobre o erro de regime (t)? Como a ação integral afeta o máximo *overshoot* do sistema (t)?
6. Utilizando o comando pzmap do Matlab, obtenha os polos e zeros do sistema em malha fechada para os sistemas dos itens 2, 3 e 4, e utilize-os para explicar o comportamento observado (t).





5.1.2 Procedimento experimental - parte 2

Nesta segunda parte do procedimento experimental, serão analisadas as características de rastreamento da entrada de diferentes controladores.

7. Ajuste o equipamento como nas seções anteriores. Usando $T_s=0.00442s$, implemente o controlador **P&D** com a opção **PI with Velocity Feedback** ($K_i = 0$) e os valores de K_p e K_d relativos ao caso criticamente amortecido com $\omega_n = 14\pi$ rd/s. Faça uma aquisição de dados (**Setup Data Acquisition** no menu **Data**) a cada 2 ciclos;
8. Ajuste o sinal **Trajectory** como sendo do tipo rampa, selecionando os valores para **Distance = 1500 counts**, **Velocity = 2000 counts/s** e **Dwell Time = 100 ms** e 1 Repetição. Marque **Unidirectional Move**. Execute a trajetória, adquira os dados, exporte e plote o **Commanded Position**, **Encoder #2 Position** (g) e **Control Effort** (g);
9. Repita os passos 7 e 8 agora para o controlador **PI&D** com $K_i k_{hw} = 2500$ [N/m-s];
10. Repita os passos 7 e 8 usando **PID** na opção **Setup Control Algorithm**, primeiro com $K_i = 0$ para obter um controlador **PD** (g), e depois com $K_i k_{hw} = 2500$ [N/m-s], para obter um controlador **PID** (g);
11. Compare os erros para a entrada rampa obtidos nos passos 8, 9 e 10. Justifique as diferenças ao se usar K_d no caminho direto e na realimentação em termos do erro de estado estacionário teórico para uma entrada rampa unitária, notando que $k_{hw} K_d \gg c_1$ (t). Compare e justifique as diferenças de esforço de controle (t).

5.1.3 Procedimento experimental - parte 3

Nesta terceira parte do procedimento experimental, serão analisadas as características de resposta em frequência dos sistemas sub-amortecido inicialmente com a ação derivativa na realimentação (**P&D**) e, em seguida, no caminho direto (**PD**).

12. Ajuste o equipamento como nas seções anteriores. Usando $T_s=0.00442$ s, implemente o controlador **P&D** com a opção **PI with Velocity Feedback** e os valores de K_p e K_d relativos ao caso sub-amortecido $\xi = 0.2$ e $\omega_n = 14\pi$ rd/s. Faça uma aquisição de dados dos **Encoders #1 e #2 (Setup Data Acquisition no menu Data)** a cada 4 ciclos;
13. Ajuste o sinal **Trajectory** como sendo do tipo **Sine Sweep**, com **Amplitude = 200 counts**, **Start Frequency = 1 [Hz]**, **End Frequency = 10 [Hz]** e **Sweep Time = 80 s**, com a opção **Logarithmic Sweep** ativada. Execute a trajetória e adquira os dados, exporte e plote **Encoder #2 Position** . Para obter um gráfico com o eixo da frequência em escala logarítmica e amplitude em [dB], use o comando `semilogx(w, 20*log10(amp))`;
14. Repita os passos 12 e 13 usando um controlador **PD**  (**PID**, na opção **Setup Control Algorithm**);
15. Identifique a frequência de ressonância para o caso sub-amortecido e compare-a com a frequência teórica prevista ($\omega_r = \omega_n \sqrt{1 - 2\xi^2}$) . Identifique as inclinações das curvas de magnitude de alta (> 8 Hz) e baixa (< 2 Hz) frequências [dB/dec] e compare-as com as esperadas teoricamente, utilizando os diagramas de Bode assintóticos .

5.2 Pré-relatório da experiência 5

As seguintes tarefas de simulação deverão ser realizadas e os resultados apresentados no início da próxima experiência. A configuração abaixo será adotada:

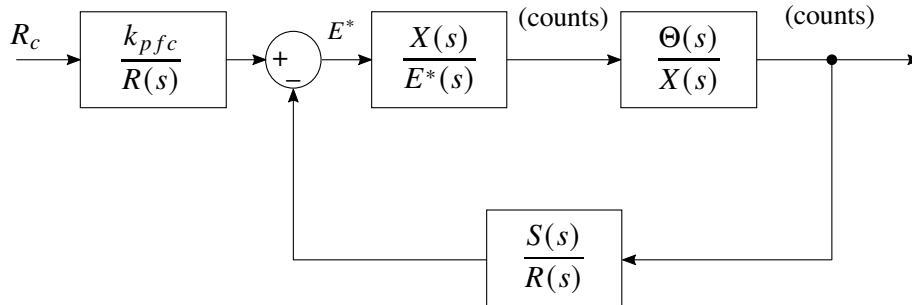


Figura 12: Controle da malha externa do pêndulo.

Na Fig.12, as quantidades Θ , X e R_c (referência) estão representadas em counts: $\theta = k_a \theta_{rad}$, onde $k_a = 2546$ [counts/rad] é o fator de escala da posição angular do pêndulo; $X = k_x x_m$, onde $k_x = 50200$ [counts/m] é o fator de escala da posição linear da haste.

Ainda com relação à Fig.12, k_{pfc} é o ganho do pré-filtro em counts e os polinômios $S(s)$ e $R(s)$ (não confundir com a referência do sistema) devem ser determinados para posicionar os polos do sistema em malha fechada adequadamente. Observe que $\frac{X(s)}{E^*(s)}$ representa a função de transferência de malha fechada dada por,

$$\frac{X(s)}{E^*(s)} = \frac{(k_{hw}/m^*)(K_p s + K_i)}{s^3 + [(c_1 + k_{hw} K_d) s^2 + k_{hw}(K_p s + K_i)]/m^*}, \quad (9)$$

relativa ao controle da posição linear da haste deslizante, vide a seção 5.3 da Experiência 3.

Nas questões formuladas a seguir, considere os valores de K_p e K_d que produzem amortecimento crítico da resposta de malha fechada, com $\omega_n = 20\pi$ rd/s.

- Analise os diagramas de Bode da função de transferência $\frac{X(s)}{E^*(s)}$ em malha fechada dada em (9), na faixa de 0 a 10 Hz. A partir dos diagramas, procure justificar a escolha de uma resposta criticamente amortecida para a posição da haste;
- Mostre que malha externa na Fig.12 envolve agora o controle da planta

$$\frac{\Theta(s)}{E^*(s)} = \frac{X(s)}{E^*(s)} \frac{\Theta(s)}{X(s)} = \frac{\Theta(s)}{X(s)}$$

isto é, tomou-se $\frac{X(s)}{E^*(s)} \approx 1$. Explique com base no item anterior, porque é possível utilizar essa aproximação.

- A partir das equações linearizadas para o pêndulo obtém-se a função de transferência

$$\frac{\Theta(s)}{X(s)} = \frac{k_a m_1 \ell_0}{k_x J^*} \frac{-s^2 + g / \ell_0}{s^2 + [c_r - (m_1 \ell_0 + m_2 \ell_c) g] / J^*} := k^* \frac{N_{ax}(s)}{D_{ax}(s)}$$

Suponha que a equação característica do sistema em malha fechada deva ser igual a um polinômio $D_{cl}(s)$, cujas raízes são os polos desejados para o sistema de malha fechada, isto é,

$$D_{ax}(s) R(s) + k^* N_{ax}(s) S(s) = D_{cl}(s). \quad (10)$$

- A equação polinomial (10) pode ser resolvida definindo-se $S(s) = s_0 + s_1 s$ e $R(s) = r_0 + r_1 s$, desenvolvendo os produtos de polinômios e igualando os coeficientes de mesma potência. Entretanto, este procedimento pode torna-se trabalhoso mesmo para polinômios de ordens relativamente baixas. Sabe-se que esse tipo de equação pode ser representada por sistemas de equações lineares através da chamada *matriz de Sylvester*. No caso específico em questão, o sistema de equações assume a forma

$$\begin{bmatrix} d_0 & n_0 & 0 & 0 \\ d_1 & n_1 & d_0 & n_0 \\ d_2 & n_2 & d_1 & n_1 \\ 0 & 0 & d_2 & n_2 \end{bmatrix} \begin{bmatrix} r_0 \\ s_0 \\ r_1 \\ s_1 \end{bmatrix} = \begin{bmatrix} f_0 \\ f_1 \\ f_2 \\ f_3 \end{bmatrix}, \quad (11)$$

onde d_i e n_i , $i = 0, 1, 2$ são os coeficientes dos polinômios $D_{ax}(s)$ e $k^* N_{ax}(s)$ e f_i , $i = 0, 1, 2, 3$ são os coeficientes do polinômio $D_{cl}(s)$, em ordem crescente de potências de s .

- Determine $S(s) = s_0 + s_1 s$ e $R(s) = r_0 + r_1 s$ que forneçam





$$D_{cl}(s) = (s + \pi + j\pi)(s + \pi - j\pi)(s + 3\pi).$$

Para as duas configurações do pêndulo:

1. **estável** - o contra-peso do pêndulo colocado a uma distância do pivot de $\ell_t = 10$ cm (o que corresponde ao centro de massa $\ell_{w2} = -0,1385$ m);
2. **instável** - o contra-peso do pêndulo colocado a uma distância do pivot de $\ell_t = 7$ cm ($\ell_{w2} = -0,1085$ m).

Utilizam-se os pesos "orelhas" da haste deslizante.

6 Levitador Magnético

Nota: Os símbolos , ,  e  indicam a necessidade de produção de um gráfico, desenvolvimento teórico, diagrama simulink® e script Matlab™, respectivamente.

Os resultados experimentais envolvendo controle **P&D** do sistema levitador serão obtidos para o sistema configurado com apenas um disco magnético. O diagramas de bloco da Fig.13 ilustra a forma resultante da função de transferência, quando as compensações do medidor e da força magnética são implementadas por software.

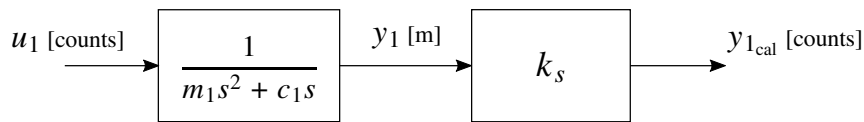


Figura 13: Diagrama final para o Levitador Magnético para o caso SISO #1.

Assim, obtém-se o modelo dinâmico da planta incorporando o ganho de hardware, isto é,

$$G_p(s) = \frac{k_s}{m_1 s^2 + c_1 s},$$

referente à configuração com compensação descrita acima, com $k_s = 100$, $m_1 = 0,123$ Kg e $c_1 = 0,4078$ N/m/s.

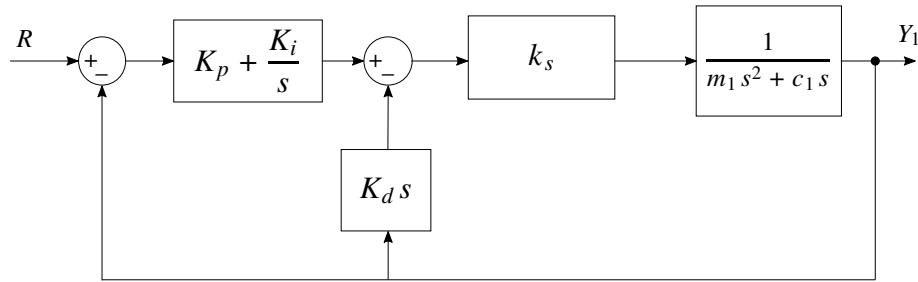
6.1 Controle PI&D do levitador magnético

O controle em malha fechada do sistema pode ser representado como na Fig.14. A função de transferência de malha fechada é

$$\frac{Y_1(s)}{R(s)} = \frac{(k_s/m_1)(K_p s + K_i)}{s^3 + [(c_1 + k_s K_d) s^2 + k_s(K_p s + K_i)]/m_1},$$

Na Experiência 3, considerou-se apenas controladores P&D ($K_i = 0$), o que reduziu o sistema em malha fechada a

$$\frac{Y_1(s)}{R(s)} = \frac{(k_s/m_1) K_p}{s^2 + [(c_1 + k_s K_d) s + k_s K_p]/m_1},$$

Figura 14: Controle **PI&D** do sistema.

Definindo-se

$$\omega_n := \sqrt{\frac{k_s K_p}{m_1}} \text{ [rad/s]} \quad (12)$$

$$\xi := \frac{c_1 + k_s K_d}{2 m_1 \omega_n} = \frac{c_1 + k_s K_d}{2 \sqrt{m_1 k_s K_p}} \quad (13)$$

a função de transferência em malha fechada pôde ser colocada na forma padrão

$$\frac{Y_1(s)}{R(s)} = \frac{\omega_n^2}{s^2 + 2\xi\omega_n s + \omega_n^2}.$$

Como observado na Experiência 3, em alguns casos pode ser vantajoso adotar a implementação da Fig.14, com o termo derivativo na realimentação, ao invés da implementação clássica em que todos os termos do **PID** aparecem no caminho direto.

Exercício 2: Mostre que o erro de estado estacionário relativo à implementação **P&D** ($K_i = 0$) da Fig.14 é

$$e(\infty) = \lim_{s \rightarrow 0} s \frac{[m_1 s^2 + (c_1 + k_s K_d) s] R(s)}{m_1 s^2 + (c_1 + k_s K_d) s + K_p k_s}, \quad \textcircled{t}$$

enquanto o erro de estado estacionário referente à implementação **PD** é dada por

$$\tilde{e}(\infty) = \lim_{s \rightarrow 0} s \frac{(m_1 s^2 + c_1 s) R(s)}{m_1 s^2 + (c_1 + k_s K_d) s + K_p k_s}. \quad \textcircled{t}$$

Suponha agora que na Fig.14 o controlador na malha direta tivesse somente um bloco na forma K_i/s , e na malha interna fosse $K_p + K_d s$, isto é, o ganho proporcional está presente na malha interna e não na malha direta. Verifique para essa estrutura do controlador o erro de regime para entrada degrau unitário, $R(s) = 1/s$ \textcircled{t} , e determine e compare as funções de transferência desta estrutura com as do **PID** e **PI&D** \textcircled{t} .

Para uma entrada degrau ($R(s) = 1/s$), obtém-se então $e(\infty) = \tilde{e}(\infty) = 0$, mas para uma entrada rampa ($R(s) = 1/s^2$), obtém-se $e(\infty) = K_d/K_p$ e $\tilde{e}(\infty) = 0$. O controlador **P&D** não é capaz de anular o erro de estado estacionário para a entrada rampa. De fato, se o sistema de controle da Fig.14 for representado como na Fig.1, então a *planta equivalente* é $G_p(s) = k_s/s (m_1 s + K_d)$, que por ser do tipo 1 exibirá erro constante para entrada rampa (tipo 2).

6.2 Procedimento experimental

Inicialização do Levitador

Este procedimento se refere ao experimento com um disco magnético montado.

1. No menu **File** carregue os parâmetros de calibração do sensor. Através da opção **Load Settings** carregue o arquivo Cal.cfg que se encontra na pasta /ea722/programas. Entre no menu **Setup, Sensor Calibration**, selecione a opção **Calibrate Sensor** $Y_{cal} = a/Y_{raw} + f/\sqrt{Y_{raw}} + g + h * Y_{raw}$ e habilite a opção **Apply Thermal Compensation**;
2. Entre na caixa de diálogo **Control Algorithm** e verifique se **Ts = 0.001768s** e se o algoritmo Cal.alg foi carregado. Se não, carregue-o através da opção **Load from disk** usando o arquivo Cal.alg que se encontra na pasta /ea722/programas. Em seguida selecione **Implement Algorithm**. O disco irá se mover para a altura de aproximadamente 2,0 [cm] mantendo-se nesta posição;
3. Verifique se o **Sensor 1 Pos** está indicando o valor de 20000 ± 500 [counts]. Caso isso não ocorra, entre no menu **Setup, Sensor Calibration**, selecione a opção **Calibrate Sensor** e ajuste o termo g da calibração para que a leitura do **Sensor 1 Pos** no fundo de tela seja próximo 20000 [counts];
4. Através da caixa de diálogo **Set-up Data Acquisition** do menu **Data**, ajuste a coleta dos dados de **Commanded Position** e **Variable Q10** (valor incremental da posição do disco #1). Especifique uma amostragem de dados a cada 2 ciclos;
5. Entre no menu **Command**, vá para **Trajectory #1** e selecione **Step**. Ajuste um degrau com amplitude de **15000** [counts], dwell time=**2000** ms e **1** (uma) repetição. Certifique-se que a opção **Unidirectional Move Only** esteja habilitada;
6. Selecione **Execute** no menu **Command** e em seguida **Trajectory #1 only**; depois plote as variáveis **Commanded Position** e **Variable Q10**. Verifique se a trajetória da variável Q10 apresenta pelo menos duas oscilações acima do valor de regime. Caso isso não ocorra, solicite a presença do professor.

Após a conclusão deste procedimento, clique no botão **Abort Control** no fundo de tela.

6.2.1 Procedimento experimental - parte 1

Nesta primeira parte do procedimento experimental, analisa-se o efeito da ação integral sobre o valor de regime da saída do sistema.






1. Certifique-se que o procedimento de inicialização do equipamento foi realizado;

2. Entre na caixa de diálogo **Control Algorithm** e defina **Ts=0.001768 s**. Para realização dos ensaios carregue o algoritmo `exp4.alg` encontrado na pasta `/ea722/programas`, através da opção **Load from disk**. Selecione **Edit Algorithm** para introduzir modificações nos valores de K_p , K_i e K_d no programa;
3. Com $K_i = 0$ determine o valor de K_p e K_d de forma que o sistema se comporte como um sistema de 2ª ordem sub-amortecido com $\omega_n = 8\pi$ rad/s e $\xi = 0,5$. Depois **Implement Algorithm, OK**;
4. Ajuste a coleta dos dados de **Command Position, Sensor #1 Position, Control Effort e Q10** através da caixa de diálogo **Set-up Data Acquisition** do menu **Data**, e especifique uma amostragem de dados a cada **5** ciclos;
5. Entre no menu **Command**, vá para **Trajectory #1** e selecione **Step**. Ajuste um degrau com amplitude de **15000 counts**, **dwell time=1500 ms** e **1** (uma) repetição. Certifique-se que a opção **Unidirectional Move Only** esteja habilitada;
6. Selecione **Execute** no menu **Command** e em seguida **Trajectory #1 only**; depois exporte e plote (usando o script `plotRawData.m`) os resultados experimentais obtidos (g). Observe o erro em regime da resposta do sistema;
7. Introduza o valor $K_i = 5$ no algoritmo `exp4.alg`. Selecione **Execute** no menu **Command** e em seguida **Trajectory #1 only**; depois exporte e plote os resultados experimentais obtidos (g). Observe o erro em regime da resposta do sistema e compare com o caso anterior (t);
8. Movimente manualmente o disco magnético nas duas direções, sem forçar em demasia e sem deixar que ele ultrapasse a altura de 3 cm. Não segure o disco por mais do que 2 s para evitar o surgimento de uma força excessiva. Perceba a força aplicada;
9. Aumente o valor de K_i em 50% e 100% do valor inicial e repita o ensaio do item 7 (g); depois movimente manualmente e perceba a força aplicada. Plote (em tempo real) no eixo direito a variável **Control Effort** e explique o comportamento observado (t). Justifique o aumento da força de compensação com o tempo em termos da ação integral (t);
10. Utilizando o comando `pzmap` do Matlab, obtenha os polos e zeros do sistema em malha fechada para os sistemas dos itens 3, 7 e 9, e utilize-os para explicar o comportamento observado (t).

6.2.2 Procedimento experimental - parte 2

Nesta segunda parte do procedimento experimental, serão analisadas as características de resposta em frequência do sistema sub-amortecido com a ação derivativa na realimentação (P&D).

11. No algoritmo `exp4.alg` selecione K_p e K_d para o caso $\omega_n = 8\pi$ [rad/s], $\xi = 0,2$ e $K_i = 0$;

12. Ajuste a coleta dos dados somente de **Q10** através da caixa de diálogo **Set-up Data Acquisition** do menu **Data**, e especifique uma amostragem de dados a cada **5** ciclos;
13. Entre no menu **Command**, vá para **Trajectory** e ajuste uma trajetória do tipo **Sine Sweep**, com **Amplitude=4000** counts, **Start Frequency=2** Hz, **End Frequency=9** Hz e **Sweep Time=60** s, com a opção **Logarithmic Sweep** ativada. Execute a trajetória, adquira os dados, exporte e plote **Q10** . Para gráfico com eixo da frequência em escala logarítmica e amplitude em **dB**, use o comando `semilogx(w, 20*log10(amp))`;
14. Identifique a frequência de ressonância do caso sub-amortecido e compare-a com a frequência teórica prevista ($\omega_r = \omega_n \sqrt{1 - 2\xi^2}$) ;
15. Adote o ganho integral $K_i = 3$. Repita os passos 13 e 14 ;
16. Plote no Matlab o diagrama de Bode do modelo do sistema  e compare com os resultados obtidos utilizando o **Sine Sweep**. 

6.3 Pré-relatório da experiência 5

As seguintes tarefas de simulação deverão ser realizadas e os resultados apresentados no início da próxima experiência. A configuração abaixo será adotada:

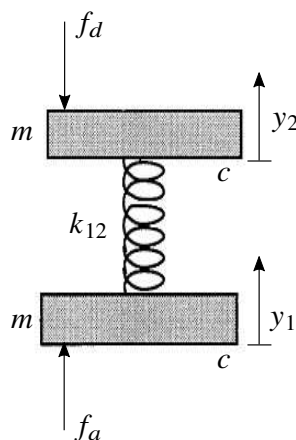


Figura 15: Sistema com dois graus de liberdade e compensação da força do atuador.

- Discos #1 e #2 posicionados de forma a gerar força de repulsão entre si;
- Implementação por software da compensação da força do atuador magnético (bobina).

Dados

| | | | | |
|----------|-----|--------|-----------|------------------------------------|
| m | $=$ | 0,123 | [Kg] | Massa dos discos |
| c | $=$ | 0,4078 | [N/(m/s)] | Coefficientes de atrito dos discos |
| k_{12} | $=$ | 37,18 | [N/m] | Constante de mola |
| k_s | $=$ | 100 | | Ganho do sistema |

Considere o sistema de controle da Fig. 16, onde $G_c(s) = K_p + K_d s$ representa o controlador **PD** a ser utilizado, F_d representa uma força de perturbação e

$$\begin{aligned} N_1(s) &= m s^2 + c s + k_{12} \\ N_2(s) &= k_{12} \\ D(s) &= m^2 s^4 + 2 c m s^3 + (2 m k_{12} + c^2) s^2 + 2 c k_{12} s. \end{aligned}$$

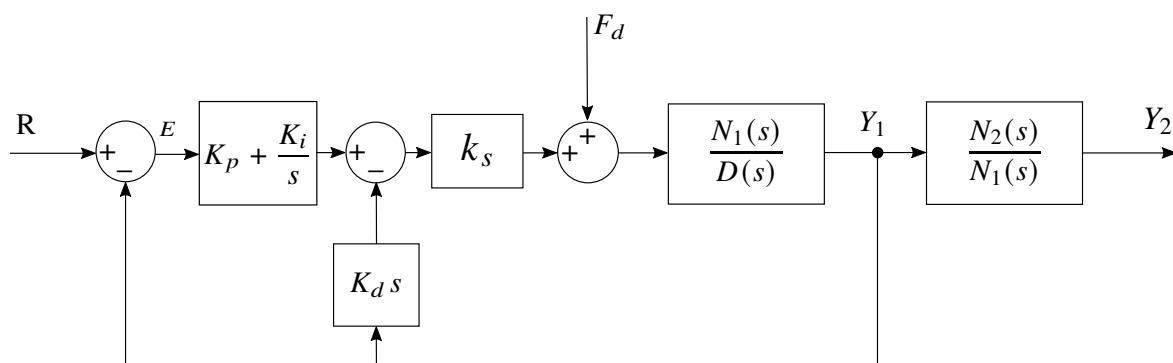


Figura 16: Controle sujeito a perturbações.

Com o objetivo de analisar a influência da força de perturbação sobre a saída do sistema, considere os seguintes controladores: **PI&D**₁: $K_p = 1, 0$; $K_d = 0, 05$; $K_i = 0, 1$ e **PI&D**₂: $K_p = 0, 4$; $K_d = 0, 05$; $K_i = 0, 05$.

1. Analise as localização dos polos das funções de transferência $Y_1(s)/R(s)$ e $Y_2(s)/R(s)$ produzidas pelos controladores **PI&D**₁ e **PI&D**₂. Quais são os polos dominantes em cada caso? Analise os comportamentos temporais de Y_1 e Y_2 para uma entrada degrau;
2. Obtenha os diagramas de Bode das funções de transferência:
de malha aberta $k_s G_c(s) \cdot \frac{N_1(s)}{D(s)}$; de malha fechada $\frac{Y_1(s)}{F_d(s)}$;
3. Analise as características de atenuação de distúrbios exibidas por cada um dos controladores **PI&D** através de diagramas de Bode.

Referências

- [1] ECP. *Manual for Model 505 - Inverted Pendulum - Educational Control Products*, 1994.
- [2] ECP. *Manual for Model 220 - Industrial Emulator/Servo Trainer - Educational Control Products*, 1995.
- [3] ECP. *Manual for Model 205/205a - Torsional Control System - Educational Control Products*, 1997.

-
- [4] ECP. *Manual for Model 210/210a - Rectilinear Control System - Educational Control Products*, 1998.
 - [5] ECP. *Manual for Model 730 - Magnetic Levitation System - Educational Control Products*, 1999.
 - [6] P. A. V. Ferreira. Introdução aos Sistemas de Controle. Notas de aula, prof. Paulo Valente. FEEC-UNICAMP, 1999.
 - [7] G.F. Franklin, J.D. Powell, and A. Emami-Naeini. *Feedback Control of Dynamic Systems*. Pearson Education Limited, 8th edition, 2018.
 - [8] J.C. Geromel and R.H. Korogui. *Controle Linear de Sistemas Dinâmicos: Teoria, Ensaios Práticos e Exercícios*. Edgard Blücher Ltda., 3rd edition, 2011.
 - [9] J.C. Geromel and A.G.B. Palhares. *Análise Linear de Sistemas Dinâmicos: Teoria, Ensaios Práticos e Exercícios*. Edgard Blücher Ltda., 3rd edition, 2019.
 - [10] D.J. Higham and N.J. Higham. *MATLAB Guide*. Siam, 3rd edition, 2017.
 - [11] The MathWorks Inc. *MATLAB and Simulink® Coverage™ User's Guide*. The MathWorks, Inc., 2022.
 - [12] N.S. Nise. *Control System Engineering*. Wiley, 8th edition, 2019.
 - [13] K. Ogata. *Engenharia de Controle Moderno*. Prentice Hall, 5th edition, 2010.